

3. 4 筒賀断層の調査

(1) 業務の内容

(a) 業務題目 筒賀断層の調査

(b) 担当者

所属機関	役職	氏名
国立研究開発法人 産業技術総合研究所	主任研究員	吾妻 崇

(c) 業務の目的

筒賀断層は、広島県西部に位置する北東－南西走向の右横ずれ断層である。地震調査研究推進本部による長期評価（地震調査研究推進本部地震調査委員会, 2016a）では最新活動時期、平均活動間隔、平均変位速度がいずれも不明となっているため、将来の地震発生確率を算出することができていない。この活断層に沿っては、段丘地形など年代推定が可能な横ずれの指標となる地形が乏しく、平均変位速度の推定が困難である。そのため、断層運動による水系の屈曲量（D）と活断層よりも上流の長さ（L）もしくは流域面積（A）との関係、及び本事業の別課題で実施している中国地方における侵食速度の算出結果に基づいて、この活断層の横ずれ成分の平均変位速度の推定を試みる。

(d) 年度毎の実施業務の要約

1) 令和元年度

対象地域の既往成果の整理を行ない、横ずれ変位を受けた水系（11 地点）を、水系の屈曲量と上流の長さ・流域面積を計測する対象地点に選定した。選定した地点について、「地理院地図」を利用して河谷の横ずれ量、上流長、流域面積等の計測を行ない、水系の屈曲量/上流の長さ（ α ）及び水系の屈曲量/流域面積/100（ α' ）の値を算出した。

2) 令和2年度

令和元年度に計測を実施した 11 地点について他の方法（大縮尺地形図の利用及び GIS ツールによる計測）を用いて再計測を行い、計測誤差の検討を行なう。地形解析から得られた α および α' の値を基に、令和元年度に野坂・集福寺断層帶（集福寺断層）で実施した宇宙線生成核種年代測定の結果及び令和2年度に山田断層帶及び筒賀断層で実施する同年代測定の結果から得られる中国地方の侵食速度を用いて、本断層の平均変位速度を算出する。

(2) 令和元年度の成果

(b) 業務の要約

筒賀断層は、広島県西部に位置する北東－南西走向で長さ約 58 km の右横ずれ断層である（図 1；地震調査研究推進本部地震調査委員会, 2016b）。この活断層の横ずれ成分の平均変位速度を推定するため、断層を横切る水系の屈曲量と断層よりも上流側の水系の長さ及び流域面積の計測を行ない、水系の屈曲量/上流の長さ (α) 及び水系の屈曲量/流域面積/100 (α') を算出した。既往調査を参照し、この断層によって右横ずれの変位を示している水系 11 地点を選出した。地形解析によって得られた α および α' の値は、それぞれ、0.21～0.04（平均値：0.09）および 0.15～0.01（平均値：0.04）であった。令和 2 年度には、野坂・集福寺断層帯（集福寺断層）、山田断層帯及び筒賀断層で実施する宇宙線生成核種年代測定に基づく中国地方の侵食速度の値を用いて、当断層の横ずれ成分の平均変位速度を算出する。

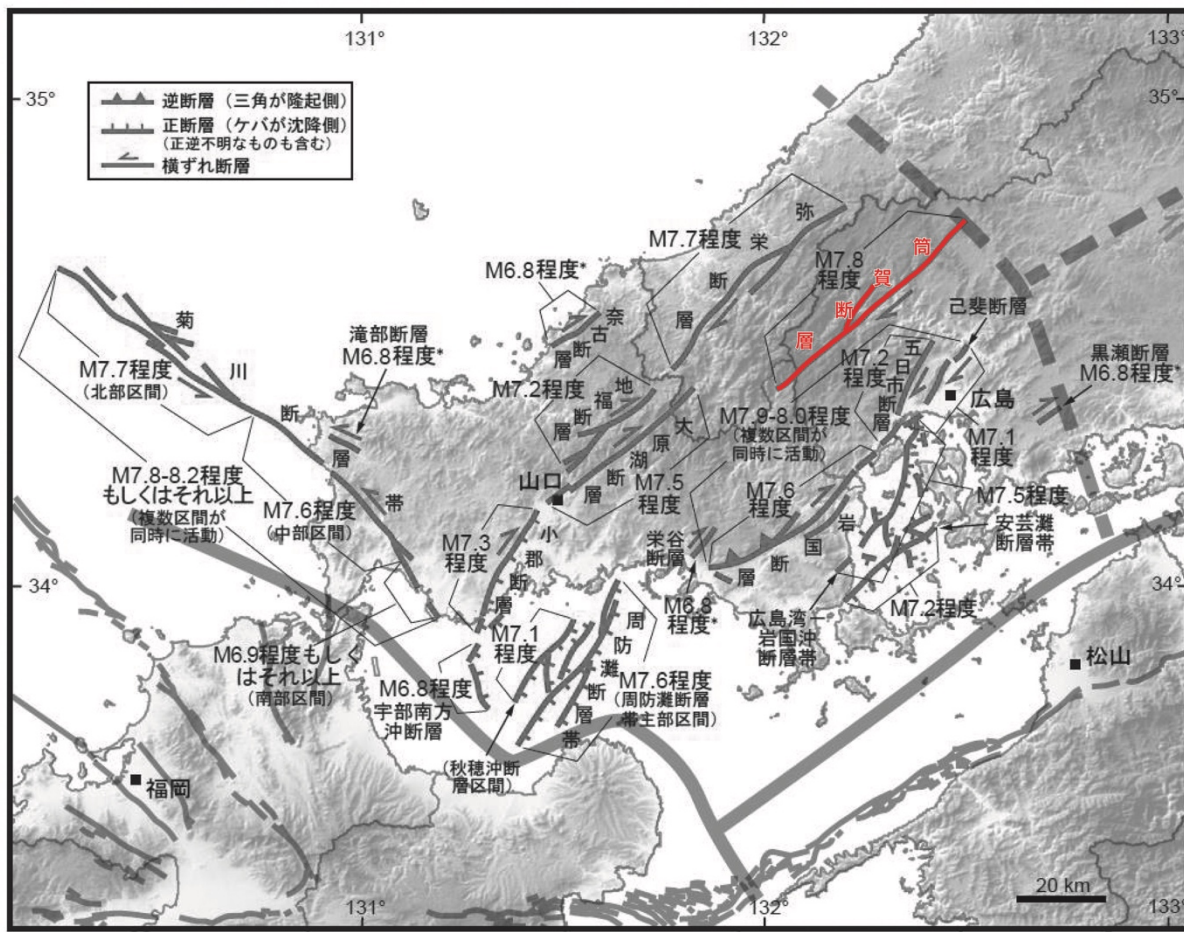


図 1 筒賀断層の位置（地震調査研究推進本部地震調査委員会(2016b)を改変）

筒賀断層の位置を赤線で示した。

(b) 業務の実施方法

1) 既往研究の整理

筒賀断層は、活断層詳細デジタルマップ（中田・今泉編, 2002）によって右横ずれ断層であることが指摘された。田力・他（2015）は、筒賀断層の詳細な活断層図を示すとともに、それまで指摘されていた筒賀断層の北東に長さ約 25 km の活断層を認め、志路原断層と呼んだ。地震調査研究推進本部地震調査委員会（2016a）はこの志路原断層を含めた範囲を筒賀断層として評価した。

なお、水系の屈曲量と上流の長さに基づく平均変位速度の推定については、松田（1966）の考えにしたがった。これに関する既往研究については、本報告書の「3. 3 岩国－五日市断層（五日市断層区間）」を参照していただきたい。

2) 水系の選定

地形図の読み取りによって認定された水系の横ずれから 11 地点を選定し、地形解析の対象とした（図 2）。地点番号は断層に沿って北から順に付け、地点 1 は断層の北端に近い新庄村付近（北広島町）の船崎川支流、地点 2～4 は加計付近（安芸太田町）、地点 5～6 は戸河内付近（安芸太田町）、地点 7 は中筒賀付近（安芸太田町）、8～10 は上筒賀付近（安芸太田町）、地点 11 は宇佐付近（山口県岩国市）に位置する（図 2）。

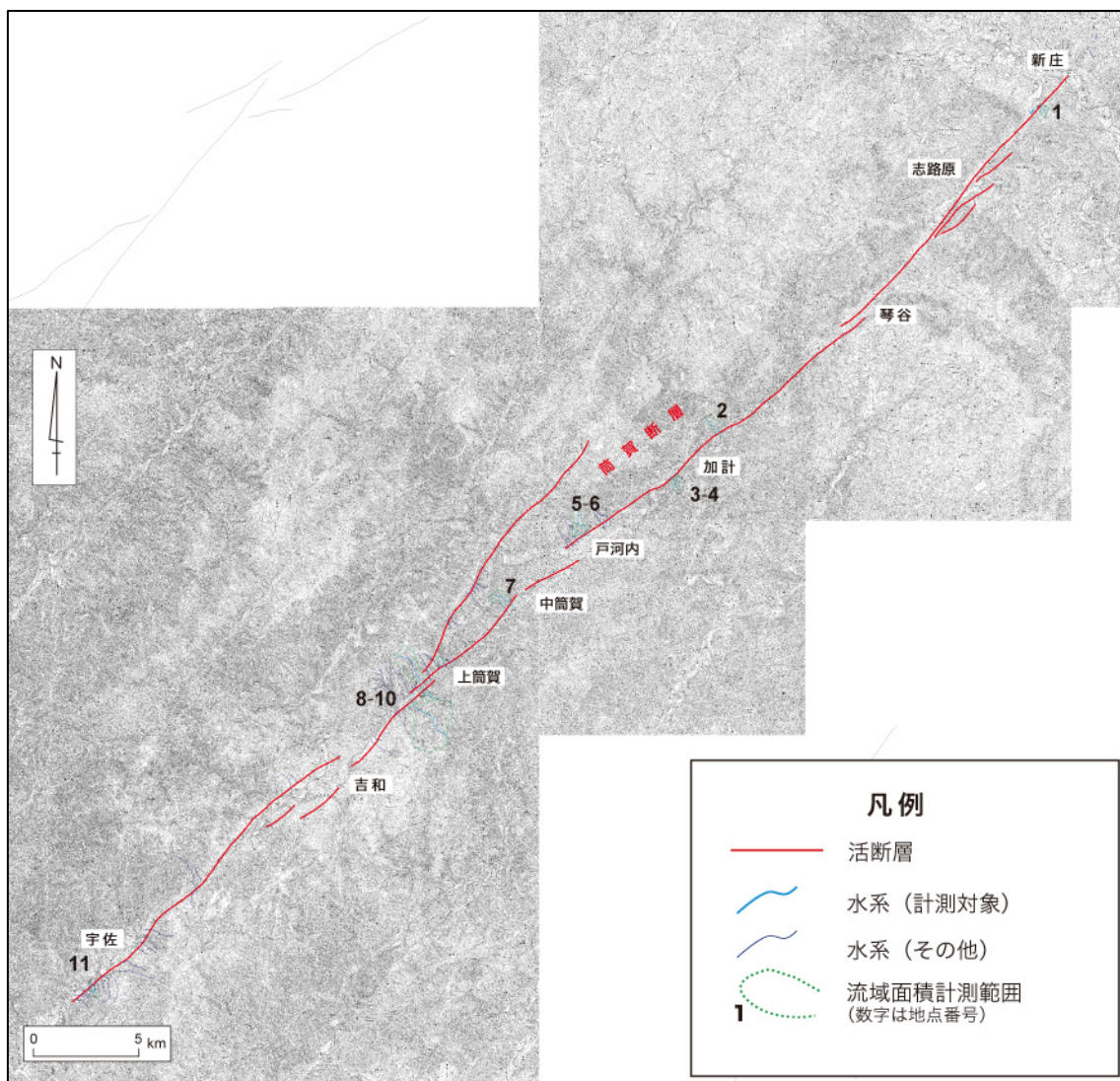


図2 筒賀断層において地形解析を行なった地点
活断層の位置は地震調査研究推進本部地震調査委員会（2016a）にしたがった。

3) 地形解析

選定した 11 地点について、「地理院地図」の計測ツール（「距離」及び「面積」）を利用して河谷の横ずれ量、上流長、流域面積の計測を行ない、水系の屈曲量/上流の長さ (α) 及び水系の屈曲量/流域面積/100 (α') を算出した。

(c) 業務の成果

各地点で計測した水系の屈曲量、上流の長さ、流域面積及び α と α' の値を表1に示す。また、水系の屈曲量と上流の長さとの関係および α の値を図3に、水系の屈曲量と流域面積との関係及び α' の値を図4にそれぞれ示す。

表1 筒賀断層における水系の屈曲量と上流の長さ、流域面積

地点番号	地点名	水系の屈曲量 (m) ①	上流の長さ (m) ②	流域面積 (m ²) ③	α (①/②)	α' (①/③)
1	新庄	56	441	128,490	0.13	0.04
2	加計	41	696	270,481	0.06	0.02
3	加計	22	368	60,418	0.06	0.04
4	加計	21	574	131,625	0.04	0.02
5	戸河内	93	1,210	324,771	0.08	0.03
6	戸河内	58	670	158,729	0.09	0.04
7	中筒賀	56	1,019	368,881	0.05	0.02
8	上筒賀	77	372	50,046	0.21	0.15
9	上筒賀	142	1,731	1,104,000	0.08	0.01
10	上筒賀	145	713	160,539	0.06	0.03
11	宇佐	67	362	92,939	0.19	0.07

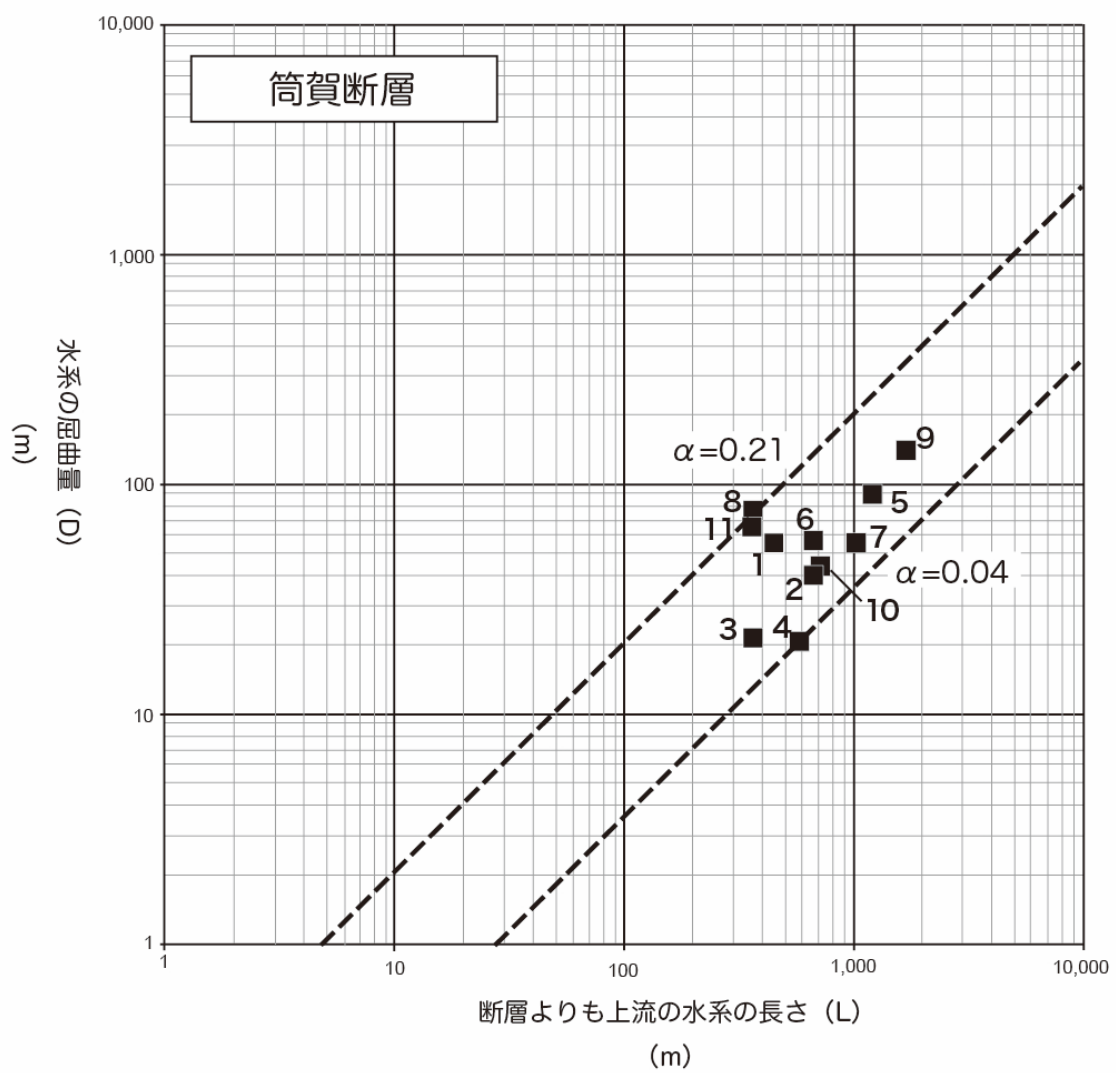


図3 筒賀断層における水系の屈曲量 (D) と上流の長さ (L) との関係
数字は地形解析を行なった地点の番号を示す。各地点の位置は図2に示す。

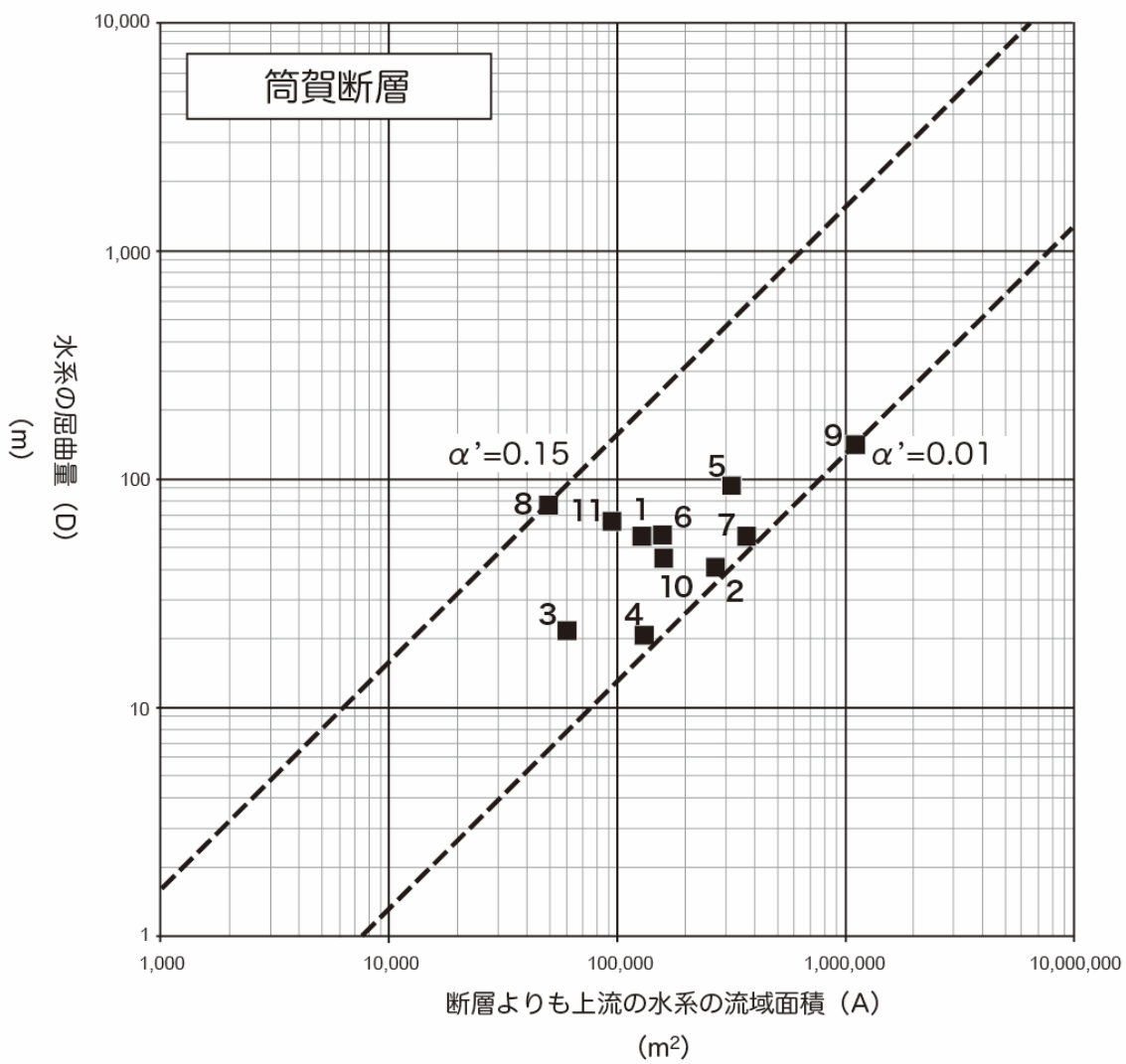


図4 筒賀断層における水系の屈曲量 (D) と上流の流域面積 (A) との関係
数字は地形解析を行なった地点の番号を示す。各地点の位置は図2に示す。

(d) 結論ならびに今後の課題

今回の作業によって、筒賀断層を横切る主な水系の屈曲量と上流の長さ及び流域面積の地形解析を行なうことができた。今回の調査で計測した筒賀断層における水系の屈曲量 (D) は、最大で 142 m、最小で 21 m であった。屈曲量 (D) と断層よりも上流側の谷の長さ (L) から導き出される屈曲率 (α) は 0.21~0.04、屈曲量 (D) と断層よりも上流側の流域面積 (A) から導き出される屈曲率 (α') は 0.15~0.01 であった。

令和2年度には、各地点における計測値の検証を進めるとともに、別課題で得る予定となっている中国地方の侵食速度を用いて、筒賀断層の横ずれ成分の平均変位速度の算出を試みる。

(e) 引用文献

地震調査研究推進本部地震調査委員会, 「筒賀断層の長期評価」, 4p, 2016a.

地震調査研究推進本部地震調査委員会, 「中部地方の活断層の長期評価(第一版)」, 70p,
2016b.

松田時彦, 跡津川断層の横ずれ変位, 東京大学地震研究所彙報, 44, 1179-1212, 1966.
中田 高・今泉俊文編, 「活断層詳細デジタルマップ」, 東京大学出版会, DVD 3枚+解説
書 60p, 2002.

田力正好・中田 高・堤 浩之・後藤秀昭・水本匡起・松田時彦, 筒賀断層帯およびその周
辺地域の活断層の分布と断層変位地形: 中国地方西部の活断層密集地域に発達する長
大活断層の一例. 日本地球惑星科学連合大会予稿集, SSS28-P18, 2015.